

Компьютерная обработка результатов измерений

Лекция 6. Анализ временных рядов. Фурье- и Вейвлет-анализ

Емельянов Эдуард Владимирович

Специальная астрофизическая обсерватория РАН
Лаборатория обеспечения наблюдений

29 марта 2021 года



- 1 Аппроксимация и интерполяция
- 2 Модель ARMA
- 3 Преобразования Лапласа, Z–преобразования
- 4 Фурье–анализ
- 5 Вейвлет–анализ



Аппроксимация и интерполяция

Аппроксимация. Некоторую функцию $f(x)$, $x \in (x_0, x_1)$ требуется приближенно заменить некоторой функцией $g(x)$ так, чтобы отклонение $g(x)$ от $f(x)$ в заданной области было наименьшим.

Точечная (интерполяция, среднеквадратичное приближение и т.п.) и непрерывная аппроксимации.

Интерполяция является частным случаем аппроксимации, позволяющим вычислить промежуточные значения дискретной функции.

Ряд Тейлора

$$f(x) = f(x_0) + (x - x_0)f'(x_0) + \dots + \frac{(x - x_0)^n f^{(n)}(x_0)}{n!} + R_n.$$



Аппроксимация и интерполяция

Ряд Тейлора

$$f(x) = f(x_0) + (x - x_0)f'(x_0) + \cdots + \frac{(x - x_0)^n f^{(n)}(x_0)}{n!} + R_n.$$

Выбирая первые N членов ряда Тейлора получаем разные виды интерполяции. Линейная:

$$f_n(x) \approx y_n + (x - x_n) \frac{y_{n+1} - y_n}{x_{n+1} - x_n}.$$

Ньютона (для равноотстоящих x , $h = x_{n+1} - x_n$):

$$f_n^k(x) \approx y_n + q\Delta y_n + \frac{1(1-q)}{2!}\Delta^2 y_n + \cdots + \frac{q(q-1)\cdots(q-k+1)}{k!}\Delta^k y_n,$$

где $q = \frac{x - x_n}{h}$, Δ^i – конечные разности ($\Delta y_n = y_{n+1} - y_n$, \dots , $\Delta^k y_n = \Delta^{k-1} y_{n+1} - \Delta^{k-1} y_n$).

Сплайн — кусочная полиномиальная функция, которая на заданном отрезке может принимать очень простую форму, в то же время имея гибкость и гладкость.

Степенной сплайн

Набор полиномов степени k со следующими ограничениями:

- сплайны должны совпадать в узловых точках с задающей функцией:
 $p_n(x_n) = f(x_n);$
- предыдущий сплайн должен переходить в следующий в точках сшивания, $p_n(x_n) = p_{n+1}(x_n);$
- все производные до $f^{(k-1)}$ должны быть непрерывными и гладкими:
 $p_n^i(x_n) = p_{n+1}^i(x_n)$ для $i = \overline{1, k-1};$

$n - 1$ полином степени k имеют $(k + 1)(n - 1) = (k + 1)n - k - 1$ свободных коэффициентов. Данные ограничения дают нам $n + (n - 2) \cdot k = (k + 1)n - 2k$ уравнений. Чтобы получить еще $k - 1$ уравнений, нужны дополнительные условия. Чем больше k , тем тяжелей. Поэтому обычно дальше $k = 3$ не идут.



B–сплайн

Базисные сплайны менее подвержены влиянию изменения отдельных точек данных (изменение одной вершины B–сплайна степени k ведет к изменению лишь $k + 1$ соседних сплайнов). При этом, однако, теряются точные интерполяционные свойства: $p_n(x_n) \neq f(x_n) \implies$ снижается влияние шумов (B–сплайн проходит только через первый и последний узлы, повышаем степень — улучшаем сглаживание данных). Количество узлов: $n \geq k + 1$.

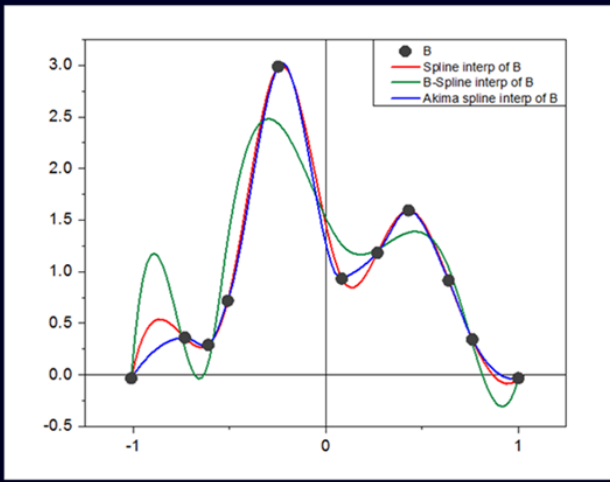
Сплайны Акимы

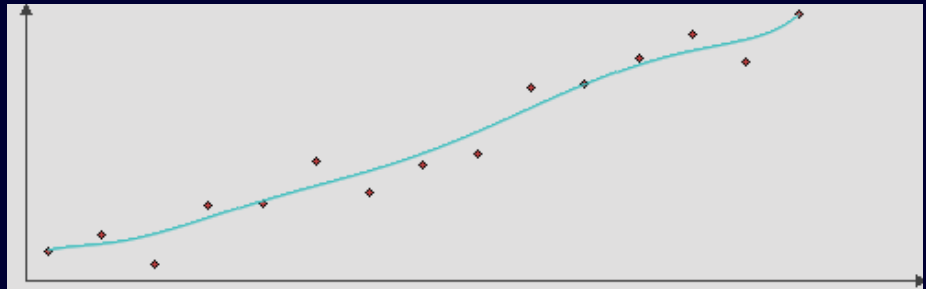
Также кубические. Устойчивы к осцилляциям. Локальность (окрестность из 5–6 точек) — существенно более быстрое разложение.

Кривые Безье

Параметрические полиномиальные кривые, проходящие через опорные точки только в начале и конце области определения.







Интерполяция кривой Безье



Модель ARMA (авторегрессия и скользящее среднее)

Авторегрессия

Процесс авторегрессии выражается уравнением

$$x_k = \mathfrak{C} + \sum_{i=1}^n \varphi_i x_{k-i} + \varepsilon_k, \quad \text{где } \mathfrak{C} - \text{константа, } \varepsilon - \text{шум.}$$

Процесс будет стационарным, лишь если φ_i заключены в определенном диапазоне, что не приведет к негораниченному росту x_k .

Скользящее среднее

$$x_k = \mathfrak{C} + \varepsilon_k - \sum_{i=1}^n \theta_i \varepsilon_{k-i}, \quad \text{объект} - \text{сумма ошибок.}$$



Модель ARMA (авторегрессия и скользящее среднее)

ARMA

$$x_k = \mathfrak{C} + \varepsilon_k + \sum_{i=1}^p \varphi_i x_{k-i} + \sum_{i=1}^q \theta_i \varepsilon_{k-i} \quad \text{— процесс ARMA}(p,q).$$

Для определения порядков p и q может применяться, например, автокорреляция и частичная автокорреляция, ЧАКФ. Для нахождения коэффициентов — метод наименьших квадратов и т.п.

В ЧАКФ из переменных вычисляется их регрессия (удаляются линейные зависимости):

$$PACF(k) = \text{corr}(x_{t+k} - x_{t+k}^{k-1}, x_t - x_t^{k-1}),$$

$$x_t^{k-1} = \sum_{i=1}^{k-1} \beta_i x_{t+k-i} \quad \text{— СЛАУ.}$$

Преобразование Лапласа

В линейной теории управления аналогами преобразований Фурье выступают преобразования Лапласа и Z-преобразования.

Для комплексного переменного s преобразование Лапласа определяется так:

$$F(s) = \mathfrak{L}(f(t))(s) = \int_0^{\infty} f(t) e^{-st} dt.$$

Использование преобразований Лапласа имеет тот смысл, что управляющая функция $f(t)$ чаще всего является чисто действительной, а ее состояние в момент времени $t < 0$ не определено или же не интересует исследователя.

$$f(t) = \mathfrak{L}^{-1}(F(s)) = \frac{1}{2\pi i} \lim_{\omega \rightarrow \infty} \int_{\gamma-\omega}^{\gamma+\omega} e^{st} F(s) ds,$$

где γ определяет область сходимости $F(s)$.

Преобразование Лапласа

Связь с преобразованием Фурье

$$\mathcal{F}(F) \equiv F(u) = \int_{-\infty}^{\infty} f(x) e^{-2\pi i ux} dx$$

$$\mathfrak{L}(f(t))(2\pi u) = \int_0^{\infty} f(t) e^{-2\pi i ut} dt = \mathcal{F}(f(t)), \quad f(t) = 0 \Big|_{t < 0}.$$

Лаплас \rightarrow Фурье: $s \rightarrow 2\pi i u \Rightarrow$ расширение свойств ПФ на ПЛ.

Сведение линейных диф. уравнений к алгебраическим \Rightarrow теория управления:

$$\mathfrak{L}\left(\frac{df(t)}{dt}\right)(s) = s^1 \mathfrak{L}(f(t))(s) - f(0) \quad \Rightarrow$$

$$\mathfrak{L}\left(f^{(n)}(t)\right)(s) = s^n \mathfrak{L}(f(t)) - \sum_{k=1}^n s^{n-k} f^{(k-1)}(0).$$

Преобразование Лапласа

Передаточная функция

$i(t)$ — входной сигнал управляющей системы, $o(t)$ — выходной сигнал;
 $I(s) = \mathcal{L}(i)$, $O(s) = \mathcal{L}(o)$. **Передаточная функция** с нулевыми начальными условиями:

$$T(s) = \frac{O(s)}{I(s)}.$$

$T(s)$ описывает динамику системы, совершенно отвлекаясь от ее внутреннего функционирования.

$$o(t) = \mathcal{L}^{-1}(T \cdot I).$$



Преобразование Лапласа, примеры

Функция Хевисайда

$$\eta(t) = \begin{cases} 0, & t < 0, \\ 1, & t \geq 0. \end{cases} \quad F(p) = \int_0^{\infty} \eta(t) e^{-st} dt = \int_0^{\infty} e^{-st} dt = \frac{1}{s}, \quad \Re(s) > 0.$$

Экспонента

$$\int_0^{\infty} e^t e^{-st} dt = \int_0^{\infty} e^{-t(s-1)} dt = \left. \frac{e^{-(s-1)t}}{-(s-1)} \right|_0^{\infty} = \frac{1}{s-1}, \quad \Re(s) > 1;$$

$$\int_0^{\infty} e^{\lambda t} e^{-st} dt = \frac{1}{s-\lambda}, \quad \Re(s) > \lambda.$$



Преобразование Лапласа, примеры

sin, cos

$$\int_0^\infty \sin \alpha t e^{-st} dt = \int_0^\infty \frac{e^{i\alpha t} - e^{-i\alpha t}}{2i} e^{-st} dt = \frac{\alpha}{s^2 + \alpha^2},$$

$$\int_0^\infty \cos \alpha t e^{-st} dt = \int_0^\infty \frac{e^{i\alpha t} + e^{-i\alpha t}}{2i} e^{-st} dt = \frac{s}{s^2 + \alpha^2}.$$

sh, ch

$$\int_0^\infty \operatorname{sh} \alpha t e^{-st} dt = \frac{\alpha}{s^2 - \alpha^2},$$

$$\int_0^\infty \operatorname{ch} \alpha t e^{-st} dt = \frac{s}{s^2 - \alpha^2}.$$

Преобразование Лапласа, примеры

Диф. уравнения

Решить задачу Коши $x''' + x' = 1$, $x(0) = x'(0) = x''(0) = 0$. Вычислим преобразование Лапласа (учитывая, что все н.у. нулевые):

$$s^3F(s) + sF(s) = \frac{1}{s} \Rightarrow F(s) = \frac{1}{s^2(s^2 + 1)} = \frac{1}{s^2} - \frac{1}{s^2 + 1},$$

Обратное преобразование:

$$x(t) = t - \sin t.$$



Преобразование Лапласа, примеры

Конденсатор

Ток $i = C \frac{du}{dt}$, Лаплас: $I(s) = C(sU(s) - u(0))$. Отсюда $U(s) = \frac{I(s)}{sC} + \frac{u(0)}{s}$.

Комплексное сопротивление $Z(s) = \left. \frac{U(s)}{I(s)} \right|_{u(0)=0}$. Импеданс конденсатора:

$$Z = \frac{1}{sC}.$$

Индуктивность

$u = L \frac{di}{dt}$, $U(s) = L(sI(s) - i(0))$, $Z(s) = \left. \frac{U(s)}{I(s)} \right|_{i(0)=0}$, $Z = sL$.



Преобразование Лапласа, примеры

Общая передаточная функция

Рассмотрим диф. уравнение

$$\sum_{i=0}^n a_i y^{(i)}(t) = \sum_{j=0}^m b_j x^{(j)}(t).$$

При нулевых начальных условиях его преобразование Лапласа:

$$Y(s) \sum a_i s^i = X(s) \sum b_j s^j, \quad \Rightarrow \quad Y(s) = \frac{b_0 + b_1 s + \dots + b_m s^m}{a_0 + a_1 s + \dots + a_n s^n} X(s).$$

Передаточная функция:

$$W(s) = \frac{Y(s)}{X(s)} = \frac{b_0 + b_1 s + \dots + b_m s^m}{a_0 + a_1 s + \dots + a_n s^n}.$$

Корни b_i – нули передаточной функции, корни a_i – ее полюса.

Преобразование Лапласа, примеры

Переходная характеристика

ПХ — реакция системы на ступенчатую функцию (Хевисайда):

$$Y(s) = \frac{1}{s}W(s).$$

Основные виды: апериодическая (монотонная) – плавное возрастание или затухание с постоянным знаком производной; периодическая колебательная – бесконечное количество раз смены знака производной с постоянным периодом; колебательная апериодическая – период смены знака производной непостоянен, его количество конечно.

Для последовательных звеньев $W(s) = \prod_{i=1}^n W_i(s)$. У параллельных суммирующих звеньев $W(s) = \sum_{i=1}^n W_i(s)$.

Обратная связь: $Y = W_1 X_1$, $X_1 = X \pm X_2 = X \pm W_2 W_1 X_1$,

$X_1 = X \pm X_1 W_1 W_2$

$$X_1 = \frac{X}{1 \mp W_1 W_2}, \quad Y = \frac{W_1 X}{1 \mp W_1 W_2}, \quad W = \frac{W_1}{1 \mp W_1 W_2}.$$

Z–преобразования (преобразования Лорана)

Являются дискретными аналогами преобразований Лапласа.

Z–преобразование дискретного сигнала $i = i_k$, где $k = 0, \dots, \infty$, имеет следующий вид:

$$I(z) \equiv \mathcal{Z}(i) = \sum_{k=0}^{\infty} i_k(t) z^{-k},$$

$$i_n = \mathcal{Z}^{-1}(I) = \frac{1}{2\pi} \oint_C I(z) z^n dz,$$

где C – контур, охватывающий область сходимости Z .

Отклик на сдвиг:

$$\mathcal{Z}(i(t + n\Delta t)) = z^n \mathcal{Z}(i(t)).$$

Связь с преобразованием Лапласа ($t \ll \Delta T$):

$$\mathfrak{L}(i(t))(s) = \mathcal{Z}(i(t)) e^{-st}.$$

Фурье–анализ

Ряд Фурье

$$f(x) = \sum_{n=0}^{\infty} a'_n \cos(nx) + \sum_{n=1}^{\infty} b'_n \sin(nx).$$

Коэффициенты a_n и b_n рассчитываются по формулам

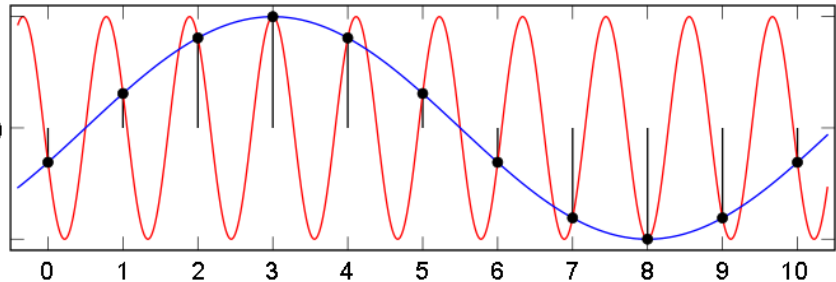
$$a_n = \frac{1}{\pi} \int_{-\pi}^{\pi} f(x) \cos(nx) dx, \quad b_n = \frac{1}{\pi} \int_{-\pi}^{\pi} f(x) \sin(nx) dx.$$

Если $S_k(x) = \sum_{n=0}^k a'_n \cos(nx) + \sum_{n=1}^k b'_n \sin(nx)$, то

$$\lim_{n \rightarrow \infty} \int_{-\pi}^{\pi} (f(x) - S_k(x)) dx = 0.$$



Фурье-анализ



Ложная синусоида («aliasing», муар).

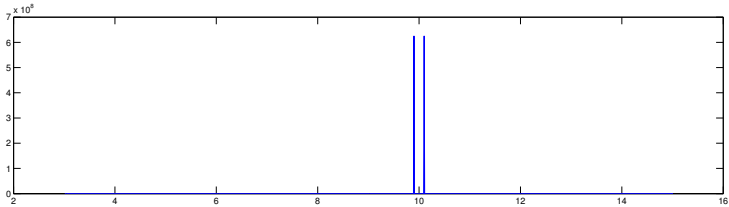
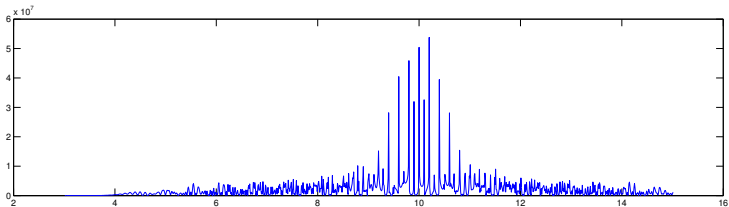


Фурье–анализ

Свойства

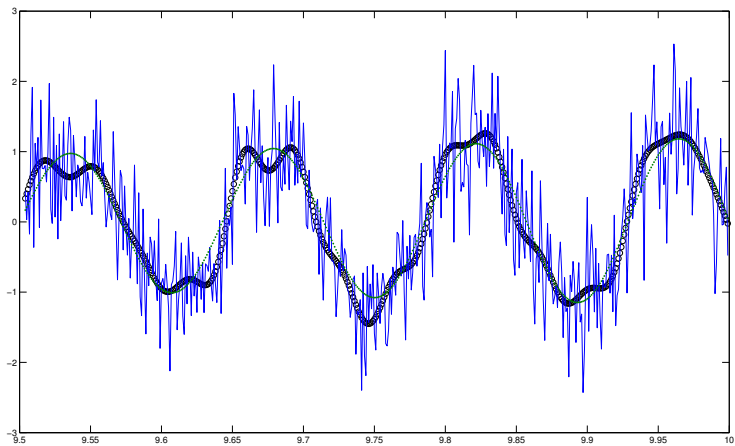
- свертка: $\mathcal{F}(f \cdot g) = \sqrt{2\pi} \mathcal{F}(f) \cdot \mathcal{F}(g)$,
- дифференцирование: $\mathcal{F}(f^n) = (2\pi i\nu)^n \mathcal{F}(f)$,
- сдвиг: $\mathcal{F}(f(x - x_0)) = e^{-2\pi i\nu x_0} \mathcal{F}(f)$,
- частотный сдвиг: $\mathcal{F}(e^{iat} f(t)) = F(2\pi\nu - a)$,
- масштабирование: $\mathcal{F}(\mathfrak{C}f) = \frac{1}{|\mathfrak{C}|} \mathcal{F}(f)(\nu/a)$,
- $\mathcal{F}(\delta(t)) = \frac{1}{\sqrt{2\pi}}$,
- $\mathcal{F}(1) = \sqrt{2\pi} \delta(2\pi\nu)$,
- $\mathcal{F}(e^{iat}) = \sqrt{2\pi} \delta(2\pi\nu - a)$.





Спектры ЧМ (сверху) и АМ (снизу) сигналов, образованных из двух одинаковых гармонических сигналов





Фурье-фильтрация. Точками обозначен оригинальный сигнал, линией — зашумленный сигнал, кружками — отфильтрованный.



Вейвлет–анализ

Вейвлеты — класс функций, использующихся для пространственной и масштабируемой локализации заданной функции. Семейство вейвлетов может быть образовано из функции $\psi(x)$ (ее иногда называют «материнским вейвлетом»), ограниченной на конечном интервале. «Дочерние» вейвлеты $\psi^{a,b}(x)$ образуются из «материнского» путем сдвига и масштабирования.

Отдельный вейвлет можно определить как

$$\psi^{a,b}(x) = |a|^{-1/2} \psi\left(\frac{x-b}{a}\right).$$

Тогда **базис вейвлетов** (прямое вейвлет–преобразование), соответствующих функции $f(x)$ определяется как

$$W_\psi(f)(a, b) = \frac{1}{\sqrt{a}} \int_{-\infty}^{\infty} f(t) \psi^*\left(\frac{t-b}{a}\right) dt.$$

где $a, b \in \mathbb{R}$, $a \neq 0$.

Вейвлет–анализ

Дискретное вейвлет–преобразование

$a = a_0^m$, $b = nb_0$, в этом случае

$$\psi_{m,n} = a_0^{-m/2} \psi \left(\frac{t - nb_0}{a_0^m} \right).$$

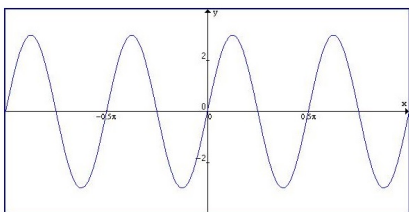
$$W_{m,n} = \int_{-\infty}^{\infty} x(t) \psi_{m,n}^*(t) dt.$$

$$x(t) = K_\psi \sum_{m=-\infty}^{\infty} \sum_{n=-\infty}^{\infty} W_{m,n} \psi_{m,n}(t),$$

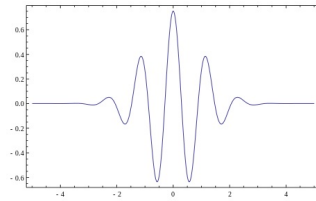
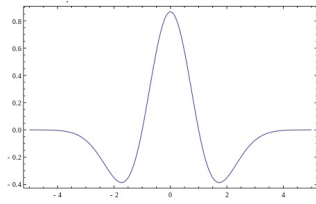
где K_ψ – постоянная нормировки.



Sine wave (goes on forever)

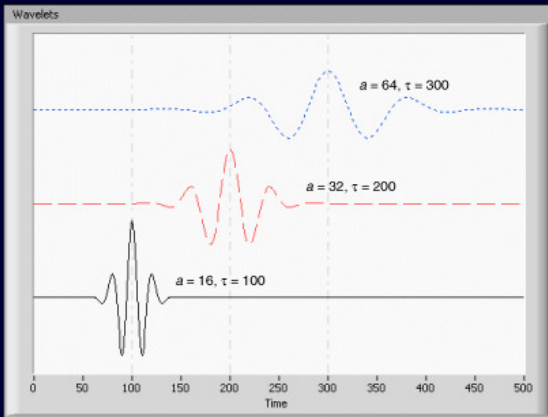


Wavelets



Локализация

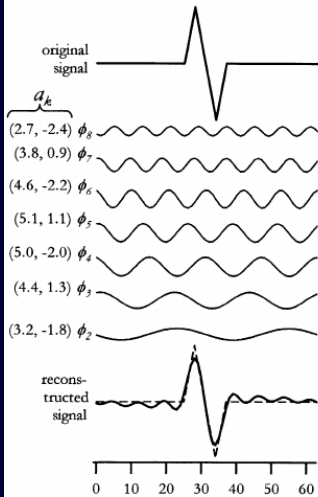




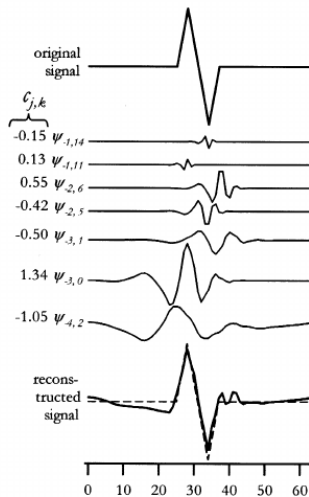
Масштабирование



A. Fourier Transform

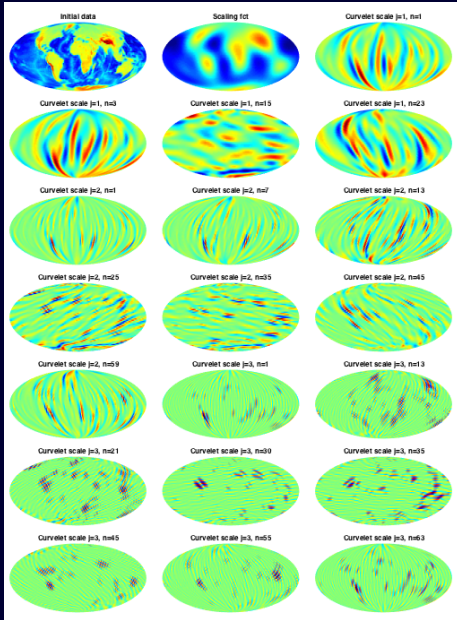


B. Wavelet Transform



Фурье и вейвлеты





Курвлеты



Спасибо за внимание!

[mailto](mailto:)

eddy@sao.ru

edward.emelianoff@gmail.com

